

Equivalenze derivate di varietà irregolari e luoghi di non annullamento

Luigi Lombardi

Università di Bonn

5 Giugno 2014

- X e Y varietà complesse proiettive lisce.

- X e Y varietà complesse proiettive lisce.
- *Categorie derivate di X e Y :*

$$\mathbf{D}(X) := D^b(\mathrm{Coh}(X)), \quad \mathbf{D}(Y) := D^b(\mathrm{Coh}(Y)).$$

categorie derivate limitate delle categorie $\mathrm{Coh}(X)$ e $\mathrm{Coh}(Y)$ dei fasci coerenti su X e Y .

- X e Y varietà complesse proiettive lisce.
- *Categorie derivate di X e Y :*

$$\mathbf{D}(X) := D^b(\mathrm{Coh}(X)), \quad \mathbf{D}(Y) := D^b(\mathrm{Coh}(Y)).$$

categorie derivate limitate delle categorie $\mathrm{Coh}(X)$ e $\mathrm{Coh}(Y)$ dei fasci coerenti su X e Y .

- **Definizione:** X e Y sono *D -equivalenti* se esiste un'equivalenza lineare ed esatta $\mathbf{D}(X) \simeq \mathbf{D}(Y)$ tra le categorie derivate di X e Y .

- X e Y varietà complesse proiettive lisce.
- *Categorie derivate di X e Y :*

$$\mathbf{D}(X) := D^b(\text{Coh}(X)), \quad \mathbf{D}(Y) := D^b(\text{Coh}(Y)).$$

categorie derivate limitate delle categorie $\text{Coh}(X)$ e $\text{Coh}(Y)$ dei fasci coerenti su X e Y .

- **Definizione:** X e Y sono *D -equivalenti* se esiste un'equivalenza lineare ed esatta $\mathbf{D}(X) \simeq \mathbf{D}(Y)$ tra le categorie derivate di X e Y .
- **Orlov:** Ogni equivalenza $F : \mathbf{D}(X) \simeq \mathbf{D}(Y)$ è di tipo Fourier–Mukai, cioè esiste un oggetto \mathcal{E} in $\mathbf{D}(X \times Y)$ tale che $F \simeq \Phi_{\mathcal{E}}$ dove

$$\Phi_{\mathcal{E}}(\mathcal{F}) := \mathbf{R}p_{Y*}(p_X^*(\mathcal{F}) \overset{\mathbf{L}}{\otimes} \mathcal{E}), \quad \mathcal{F} \in \mathbf{D}(X)$$

e $p_X : X \times Y \rightarrow X$, $p_Y : X \times Y \rightarrow Y$ sono le proiezioni.

Risultati di Bondal, Kawamata ed Orlov dimostrano che $\mathbf{D}(X)$ porta con sè molte informazioni riguardo la varietà stessa.

Risultati di Bondal, Kawamata ed Orlov dimostrano che $\mathbf{D}(X)$ porta con sè molte informazioni riguardo la varietà stessa.

Teorema (Bondal–Orlov, Kawamata)

Supponi $\mathbf{D}(X) \simeq \mathbf{D}(Y)$.

Risultati di Bondal, Kawamata ed Orlov dimostrano che $\mathbf{D}(X)$ porta con sè molte informazioni riguardo la varietà stessa.

Teorema (Bondal–Orlov, Kawamata)

Supponi $\mathbf{D}(X) \simeq \mathbf{D}(Y)$.

- Allora $\dim X = \dim Y$, $\text{kod}(X) = \text{kod}(Y)$ e
 $R(X) := \bigoplus_m H^0(X, \omega_X^{\otimes m}) \simeq R(Y) := \bigoplus_m H^0(Y, \omega_Y^{\otimes m})$.

Risultati di Bondal, Kawamata ed Orlov dimostrano che $\mathbf{D}(X)$ porta con sè molte informazioni riguardo la varietà stessa.

Teorema (Bondal–Orlov, Kawamata)

Supponi $\mathbf{D}(X) \simeq \mathbf{D}(Y)$.

- Allora $\dim X = \dim Y$, $\text{kod}(X) = \text{kod}(Y)$ e
 $R(X) := \bigoplus_m H^0(X, \omega_X^{\otimes m}) \simeq R(Y) := \bigoplus_m H^0(Y, \omega_Y^{\otimes m})$.
- Se ω_X o ω_X^{-1} è ampio, allora $X \simeq Y$.

Risultati di Bondal, Kawamata ed Orlov dimostrano che $\mathbf{D}(X)$ porta con sè molte informazioni riguardo la varietà stessa.

Teorema (Bondal–Orlov, Kawamata)

Supponi $\mathbf{D}(X) \simeq \mathbf{D}(Y)$.

- Allora $\dim X = \dim Y$, $\text{kod}(X) = \text{kod}(Y)$ e $R(X) := \bigoplus_m H^0(X, \omega_X^{\otimes m}) \simeq R(Y) := \bigoplus_m H^0(Y, \omega_Y^{\otimes m})$.
- Se ω_X o ω_X^{-1} è ampio, allora $X \simeq Y$.
- Se X è di tipo generale o se $\text{kod}(\omega_X^{-1}) = \dim X$, allora X e Y sono K -equivalenti.

Risultati di Bondal, Kawamata ed Orlov dimostrano che $\mathbf{D}(X)$ porta con sè molte informazioni riguardo la varietà stessa.

Teorema (Bondal–Orlov, Kawamata)

Supponi $\mathbf{D}(X) \simeq \mathbf{D}(Y)$.

- Allora $\dim X = \dim Y$, $\text{kod}(X) = \text{kod}(Y)$ e $R(X) := \bigoplus_m H^0(X, \omega_X^{\otimes m}) \simeq R(Y) := \bigoplus_m H^0(Y, \omega_Y^{\otimes m})$.
- Se ω_X o ω_X^{-1} è ampio, allora $X \simeq Y$.
- Se X è di tipo generale o se $\text{kod}(\omega_X^{-1}) = \dim X$, allora X e Y sono K -equivalenti.
Ovvero esiste una varietà liscia Z insieme a due morfismi birazionali $p: Z \rightarrow X$ e $q: Z \rightarrow Y$ tali che $p^*\omega_X \simeq q^*\omega_Y$.

Risultati di Bondal, Kawamata ed Orlov dimostrano che $\mathbf{D}(X)$ porta con sè molte informazioni riguardo la varietà stessa.

Teorema (Bondal–Orlov, Kawamata)

Supponi $\mathbf{D}(X) \simeq \mathbf{D}(Y)$.

- Allora $\dim X = \dim Y$, $\text{kod}(X) = \text{kod}(Y)$ e $R(X) := \bigoplus_m H^0(X, \omega_X^{\otimes m}) \simeq R(Y) := \bigoplus_m H^0(Y, \omega_Y^{\otimes m})$.
- Se ω_X o ω_X^{-1} è ampio, allora $X \simeq Y$.
- Se X è di tipo generale o se $\text{kod}(\omega_X^{-1}) = \dim X$, allora X e Y sono K -equivalenti.
Ovvero esiste una varietà liscia Z insieme a due morfismi birazionali $p: Z \rightarrow X$ e $q: Z \rightarrow Y$ tali che $p^*\omega_X \simeq q^*\omega_Y$.

Corollario

Se C e D sono curve proiettive lisce tali che $\mathbf{D}(C) \simeq \mathbf{D}(D)$, allora $C \simeq D$.

Superfici D -equivalenti

Superfici D -equivalenti

Bridgeland–Maciocia e Kawamata classificano superfici D -equivalenti in parallelo alla classificazione classica delle superfici di Enriques–Kodaira.

Superfici D -equivalenti

Bridgeland–Maciocia e Kawamata classificano superfici D -equivalenti in parallelo alla classificazione classica delle superfici di Enriques–Kodaira.

Siano X e Y superfici proiettive lisce tali che $\mathbf{D}(X) \simeq \mathbf{D}(Y)$.

Superfici D -equivalenti

Bridgeland–Maciocia e Kawamata classificano superfici D -equivalenti in parallelo alla classificazione classica delle superfici di Enriques–Kodaira.

Siano X e Y superfici proiettive lisce tali che $\mathbf{D}(X) \simeq \mathbf{D}(Y)$.

- X abeliana (*risp.* $K3$) $\Rightarrow Y$ abeliana (*risp.* $K3$).
- $f : X \rightarrow C$ ellittica $\Rightarrow Y$ è uno schema di Picard relativo associato alla fibrazione f . In particolare $Y \rightarrow C$ è ellittica.
- X di tipo generale $\Rightarrow X \simeq Y$
- X Enriques o biellittica $\Rightarrow X \simeq Y$
- $\text{kod}(X) = -\infty$ e X non ellittica $\Rightarrow X \simeq Y$

Superfici D -equivalenti

Bridgeland–Maciocia e Kawamata classificano superfici D -equivalenti in parallelo alla classificazione classica delle superfici di Enriques–Kodaira.

Siano X e Y superfici proiettive lisce tali che $\mathbf{D}(X) \simeq \mathbf{D}(Y)$.

- X abeliana (*risp.* $K3$) $\Rightarrow Y$ abeliana (*risp.* $K3$).
- $f : X \rightarrow C$ ellittica $\Rightarrow Y$ è uno schema di Picard relativo associato alla fibrazione f . In particolare $Y \rightarrow C$ è ellittica.
- X di tipo generale $\Rightarrow X \simeq Y$
- X Enriques o biellittica $\Rightarrow X \simeq Y$
- $\text{kod}(X) = -\infty$ e X non ellittica $\Rightarrow X \simeq Y$

Per capire varietà D -equivalenti in dimensione superiore prendiamo spunto dal caso delle superfici. In particolare facciamo le seguenti osservazioni:

- Se X è una superficie allora l'insieme

$$FM(X) := \{Y \mid Y \text{ è } D\text{-equivalente ad } X\} \simeq$$

dei *Fourier-Mukai partners* di X è finito.

- Se X è una superficie allora l'insieme

$$FM(X) := \{Y \mid Y \text{ è } D\text{-equivalente ad } X\} \simeq$$

dei *Fourier-Mukai partners* di X è finito.

- Se X ammette una fibrazione

$$X \rightarrow C$$

su una curva liscia di genere almeno 2, allora ogni $Y \in FM(X)$ ammette una fibrazione sulla stessa curva.

- Se X è una superficie allora l'insieme

$$FM(X) := \{Y \mid Y \text{ è } D\text{-equivalente ad } X\} \simeq$$

dei *Fourier-Mukai partners* di X è finito.

- Se X ammette una fibrazione

$$X \rightarrow C$$

su una curva liscia di genere almeno 2, allora ogni $Y \in FM(X)$ ammette una fibrazione sulla stessa curva.

La prima osservazione è stata recentemente provata essere falsa in dimensione 3:

Teorema (Lesieutre)

Esiste un insieme infinito di configurazioni W di 8 punti su \mathbf{P}^3 tali che se $P, Q \in W$ e $P \neq Q$, allora $\text{Bl}_P \mathbf{P}^3 \not\cong \text{Bl}_Q \mathbf{P}^3$ e $\mathbf{D}(\text{Bl}_P \mathbf{P}^3) \simeq \mathbf{D}(\text{Bl}_Q \mathbf{P}^3)$.

La seconda osservazione invece si estende in dimensione arbitraria.

Teorema (L.–Popa, L.–Schnell)

Supponi $\mathbf{D}(X) \simeq \mathbf{D}(Y)$. Se X ammette una fibrazione su una curva liscia di genere ≥ 2 , allora Y ammette una fibrazione sulla stessa curva. In più, l'insieme delle curve lisce di genere ≥ 2 su cui X ammette una fibrazione è invariante sotto equivalenze di categorie derivate.

La seconda osservazione invece si estende in dimensione arbitraria.

Teorema (L.–Popa, L.–Schnell)

Supponi $\mathbf{D}(X) \simeq \mathbf{D}(Y)$. Se X ammette una fibrazione su una curva liscia di genere ≥ 2 , allora Y ammette una fibrazione sulla stessa curva. In più, l'insieme delle curve lisce di genere ≥ 2 su cui X ammette una fibrazione è invariante sotto equivalenze di categorie derivate.

Osservazione: X è irregolare.

Equivalenze derivate di varietà irregolari

- X è irregolare se

$$q(X) = \dim H^0(X, \Omega_X^1) = h^{1,0}(X) = \dim \text{Pic}^0(X) > 0$$

$$\text{Pic}^0(X) = \{L \in \text{Pic}(X) \mid c_1(L) = 0\}_{\simeq}.$$

Equivalenze derivate di varietà irregolari

- X è irregolare se

$$q(X) = \dim H^0(X, \Omega_X^1) = h^{1,0}(X) = \dim \text{Pic}^0(X) > 0$$

$$\text{Pic}^0(X) = \{L \in \text{Pic}(X) \mid c_1(L) = 0\}_{\simeq}.$$

Definizione (Luoghi di non annullamento di Green–Lazarsfeld)

Definiamo

$$V^i(\omega_X) := \{\alpha \in \text{Pic}^0(X) \mid h^i(X, \omega_X \otimes \alpha) \geq 1\} \subset \text{Pic}^0(X) \quad i \geq 0.$$

Definiamo anche

$$V_m^i(\omega_X) := \{\alpha \in \text{Pic}^0(X) \mid h^i(X, \omega_X \otimes \alpha) \geq m\} \subset \text{Pic}^0(X) \quad m \geq 1, i \geq 0.$$

Teoria dell'annullamento generico (Green, Lazarsfeld, Ein, Hacon, Pareschi, Popa, Schnell, Simpson,...):

- Sia $\text{alb}_X : X \rightarrow \text{Alb}(X)$ la mappa di Albanese di X e $a(X)$ la dimensione della sua immagine. Allora

$$\text{cod}_{\text{Pic}^0(X)} V^i(\omega_X) \geq i - \dim X + a(X) \quad \text{per ogni } i \geq 0$$

Teoria dell'annullamento generico (Green, Lazarsfeld, Ein, Hacon, Pareschi, Popa, Schnell, Simpson,...):

- Sia $\text{alb}_X : X \rightarrow \text{Alb}(X)$ la mappa di Albanese di X e $a(X)$ la dimensione della sua immagine. Allora

$$\text{cod}_{\text{Pic}^0(X)} V^i(\omega_X) \geq i - \dim X + a(X) \quad \text{per ogni } i \geq 0$$

In particolare se $a(X) = \dim X$, allora

$$H^i(X, \omega_X \otimes \alpha) = 0 \quad \text{per } \alpha \in \text{Pic}^0(X) \text{ generico e per ogni } i > 0.$$

$$\Rightarrow \chi(\omega_X) \geq 0.$$

(Per tali α , abbiamo $\chi(\omega_X) = \chi(\omega_X \otimes \alpha) = h^0(X, \omega_X \otimes \alpha) \geq 0$).

Teoria dell'annullamento generico (Green, Lazarsfeld, Ein, Hacon, Pareschi, Popa, Schnell, Simpson,...):

- Sia $\text{alb}_X : X \rightarrow \text{Alb}(X)$ la mappa di Albanese di X e $a(X)$ la dimensione della sua immagine. Allora

$$\text{cod}_{\text{Pic}^0(X)} V^i(\omega_X) \geq i - \dim X + a(X) \quad \text{per ogni } i \geq 0$$

In particolare se $a(X) = \dim X$, allora

$$H^i(X, \omega_X \otimes \alpha) = 0 \quad \text{per } \alpha \in \text{Pic}^0(X) \quad \text{generico e per ogni } i > 0.$$

$$\Rightarrow \chi(\omega_X) \geq 0.$$

(Per tali α , abbiamo $\chi(\omega_X) = \chi(\omega_X \otimes \alpha) = h^0(X, \omega_X \otimes \alpha) \geq 0$).

- Ogni componente irriducibile di $V_m^i(\omega_X)$ è un traslato per un punto di torsione di un sotto toro di $\text{Pic}^0(X)$.

Teoria dell'annullamento generico (Green, Lazarsfeld, Ein, Hacon, Pareschi, Popa, Schnell, Simpson,...):

- Sia $\text{alb}_X : X \rightarrow \text{Alb}(X)$ la mappa di Albanese di X e $a(X)$ la dimensione della sua immagine. Allora

$$\text{cod}_{\text{Pic}^0(X)} V^i(\omega_X) \geq i - \dim X + a(X) \quad \text{per ogni } i \geq 0$$

In particolare se $a(X) = \dim X$, allora

$$H^i(X, \omega_X \otimes \alpha) = 0 \quad \text{per } \alpha \in \text{Pic}^0(X) \text{ generico e per ogni } i > 0.$$

$$\Rightarrow \chi(\omega_X) \geq 0.$$

(Per tali α , abbiamo $\chi(\omega_X) = \chi(\omega_X \otimes \alpha) = h^0(X, \omega_X \otimes \alpha) \geq 0$).

- Ogni componente irriducibile di $V_m^i(\omega_X)$ è un traslato per un punto di torsione di un sotto toro di $\text{Pic}^0(X)$.
- I luoghi $V_m^i(\omega_X)$ forniscono informazioni riguardo: la geometria della mappa di Albanese, fibrazioni, mappe pluricanoniche, invarianti numerici (per esempio $\chi(\omega_X)$, $\text{kod}(X)$, dimensione di Albanese...).

Teoria dell'annullamento generico (Green, Lazarsfeld, Ein, Hacon, Pareschi, Popa, Schnell, Simpson,...):

- Sia $\text{alb}_X : X \rightarrow \text{Alb}(X)$ la mappa di Albanese di X e $a(X)$ la dimensione della sua immagine. Allora

$$\text{cod}_{\text{Pic}^0(X)} V^i(\omega_X) \geq i - \dim X + a(X) \quad \text{per ogni } i \geq 0$$

In particolare se $a(X) = \dim X$, allora

$$H^i(X, \omega_X \otimes \alpha) = 0 \quad \text{per } \alpha \in \text{Pic}^0(X) \text{ generico e per ogni } i > 0.$$

$$\Rightarrow \chi(\omega_X) \geq 0.$$

(Per tali α , abbiamo $\chi(\omega_X) = \chi(\omega_X \otimes \alpha) = h^0(X, \omega_X \otimes \alpha) \geq 0$).

- Ogni componente irriducibile di $V_m^i(\omega_X)$ è un traslato per un punto di torsione di un sotto toro di $\text{Pic}^0(X)$.
- I luoghi $V_m^i(\omega_X)$ forniscono informazioni riguardo: la geometria della mappa di Albanese, fibrazioni, mappe pluricanoniche, invarianti numerici (per esempio $\chi(\omega_X)$, $\text{kod}(X)$, dimensione di Albanese...).

Problema

Capire il comportamento dei luoghi $V_m^i(\omega_X)$ sotto equivalenze di categorie derivate.

Isomorfismo di Rouquier

Isomorfismo di Rouquier

Notazione: $\text{Aut}^0(X) :=$ componente connessa del gruppo degli automorfismi $\text{Aut}(X)$ contenente id_X .

Isomorfismo di Rouquier

Notazione: $\text{Aut}^0(X) :=$ componente connessa del gruppo degli automorfismi $\text{Aut}(X)$ contenente id_X .

Teorema (Rouquier)

Un'equivalenza $\Phi_{\mathcal{E}} : \mathbf{D}(X) \simeq \mathbf{D}(Y)$ di categorie derivate induce un isomorfismo di gruppi algebrici

$$F_{\mathcal{E}} : \text{Aut}^0(X) \times \text{Pic}^0(X) \longrightarrow \text{Aut}^0(Y) \times \text{Pic}^0(Y)$$

tale che $F_{\mathcal{E}}(\varphi, \alpha) = (\psi, \beta) \iff (\varphi \times \psi)^* \mathcal{E} \simeq (\alpha^{-1} \boxtimes \beta) \otimes \mathcal{E}.$

Isomorfismo di Rouquier

Notazione: $\text{Aut}^0(X) :=$ componente connessa del gruppo degli automorfismi $\text{Aut}(X)$ contenente id_X .

Teorema (Rouquier)

Un'equivalenza $\Phi_{\mathcal{E}} : \mathbf{D}(X) \simeq \mathbf{D}(Y)$ di categorie derivate induce un isomorfismo di gruppi algebrici

$$F_{\mathcal{E}} : \text{Aut}^0(X) \times \text{Pic}^0(X) \longrightarrow \text{Aut}^0(Y) \times \text{Pic}^0(Y)$$

tale che $F_{\mathcal{E}}(\varphi, \alpha) = (\psi, \beta) \iff (\varphi \times \psi)^ \mathcal{E} \simeq (\alpha^{-1} \boxtimes \beta) \otimes \mathcal{E}$.*

Idea: L'equivalenza $\Phi_{\mathcal{E}}$ induce un isomorfismo

$$\text{Auteq}(\mathbf{D}(X)) \simeq \text{Auteq}(\mathbf{D}(Y))$$

$$\xi \mapsto \Phi_{\mathcal{E}} \circ \xi \circ \Phi_{\mathcal{E}}^{-1}.$$

\Rightarrow

$$\text{Auteq}^0(\mathbf{D}(X)) \simeq \text{Auteq}^0(\mathbf{D}(Y))$$

e d'altra parte

$$\mathrm{Aut}^0(X) \times \mathrm{Pic}^0(X) \simeq \mathrm{Auteq}^0(\mathbf{D}(X)), \quad \mathrm{Aut}^0(Y) \times \mathrm{Pic}^0(Y) \simeq \mathrm{Auteq}^0(\mathbf{D}(Y)).$$

$$(\varphi, \alpha) \mapsto \Phi_{(\mathrm{id}_X, \varphi)_* \alpha},$$

$$(\psi, \beta) \mapsto \Phi_{(\mathrm{id}_Y, \psi)_* \beta}.$$

Comportamento della varietà di Picard

Teorema (Popa–Schnell)

Supponi $\mathbf{D}(X) \simeq \mathbf{D}(Y)$.

Teorema (Popa–Schnell)

Supponi $\mathbf{D}(X) \simeq \mathbf{D}(Y)$.

- $\text{Pic}^0(X)$ e $\text{Pic}^0(Y)$ sono varietà abeliane isogene.
- $\text{Pic}^0(X) \simeq \text{Pic}^0(Y)$ a meno che X e Y sono fibrazioni étale localmente banali su varietà abeliane isogene di dimensione positiva (in particolare $\chi(\mathcal{O}_X) = \chi(\mathcal{O}_Y) = 0$).

Teorema (Popa–Schnell)

Supponi $\mathbf{D}(X) \simeq \mathbf{D}(Y)$.

- $\text{Pic}^0(X)$ e $\text{Pic}^0(Y)$ sono varietà abeliane isogene.
- $\text{Pic}^0(X) \simeq \text{Pic}^0(Y)$ a meno che X e Y sono fibrazioni étale localmente banali su varietà abeliane isogene di dimensione positiva (in particolare $\chi(\mathcal{O}_X) = \chi(\mathcal{O}_Y) = 0$).
- $q(X) = q(Y)$.

Se $\text{Aut}^0(X)$ è affine allora l'isomorfismo $\text{Pic}^0(X) \simeq \text{Pic}^0(Y)$ è indotto dall'isomorfismo di Rouquier.

Comportamento dei luoghi $V_m^i(\omega_X)$

Illustriamo prima il caso $i = 0$ e $m = 1$.

Proposizione

Se $\Phi_\varepsilon : \mathbf{D}(X) \simeq \mathbf{D}(Y)$, allora $F_\varepsilon(\text{id}_X, V^0(\omega_X)) = (\text{id}_Y, V^0(\omega_Y))$.

Comportamento dei luoghi $V_m^i(\omega_X)$

Illustriamo prima il caso $i = 0$ e $m = 1$.

Proposizione

Se $\Phi_\varepsilon : \mathbf{D}(X) \simeq \mathbf{D}(Y)$, allora $F_\varepsilon(\mathrm{id}_X, V^0(\omega_X)) = (\mathrm{id}_Y, V^0(\omega_Y))$.

Dimostrazione.

Sia $\alpha \in V^0(\omega_X)$ e sia $F_\varepsilon(\mathrm{id}_X, \alpha) = (\psi, \beta) \in \mathrm{Aut}^0(Y) \times \mathrm{Pic}^0(Y)$.

Comportamento dei luoghi $V_m^i(\omega_X)$

Illustriamo prima il caso $i = 0$ e $m = 1$.

Proposizione

Se $\Phi_\varepsilon : \mathbf{D}(X) \simeq \mathbf{D}(Y)$, allora $F_\varepsilon(\text{id}_X, V^0(\omega_X)) = (\text{id}_Y, V^0(\omega_Y))$.

Dimostrazione.

Sia $\alpha \in V^0(\omega_X)$ e sia $F_\varepsilon(\text{id}_X, \alpha) = (\psi, \beta) \in \text{Aut}^0(Y) \times \text{Pic}^0(Y)$.
Denotiamo con Δ_X, Δ_Y le immersioni diagonali e con (id_Y, ψ) la mappa $y \mapsto (y, \psi(y))$.

Comportamento dei luoghi $V_m^i(\omega_X)$

Illustriamo prima il caso $i = 0$ e $m = 1$.

Proposizione

Se $\Phi_\varepsilon : \mathbf{D}(X) \simeq \mathbf{D}(Y)$, allora $F_\varepsilon(\text{id}_X, V^0(\omega_X)) = (\text{id}_Y, V^0(\omega_Y))$.

Dimostrazione.

Sia $\alpha \in V^0(\omega_X)$ e sia $F_\varepsilon(\text{id}_X, \alpha) = (\psi, \beta) \in \text{Aut}^0(Y) \times \text{Pic}^0(Y)$.
Denotiamo con Δ_X, Δ_Y le immersioni diagonali e con (id_Y, ψ) la mappa $y \mapsto (y, \psi(y))$.

Allora

$$0 \neq H^0(X, \omega_X \otimes \alpha)$$

Comportamento dei luoghi $V_m^i(\omega_X)$

Illustriamo prima il caso $i = 0$ e $m = 1$.

Proposizione

Se $\Phi_\varepsilon : \mathbf{D}(X) \simeq \mathbf{D}(Y)$, allora $F_\varepsilon(\text{id}_X, V^0(\omega_X)) = (\text{id}_Y, V^0(\omega_Y))$.

Dimostrazione.

Sia $\alpha \in V^0(\omega_X)$ e sia $F_\varepsilon(\text{id}_X, \alpha) = (\psi, \beta) \in \text{Aut}^0(Y) \times \text{Pic}^0(Y)$.
Denotiamo con Δ_X, Δ_Y le immersioni diagonali e con (id_Y, ψ) la mappa $y \mapsto (y, \psi(y))$.

Allora

$$\begin{aligned} 0 &\neq H^0(X, \omega_X \otimes \alpha) \\ &\simeq \text{Hom}_{X \times X}(\Delta_{X*} \mathcal{O}_X, \Delta_{X*}(\omega_X \otimes \alpha)) \end{aligned}$$

Comportamento dei luoghi $V_m^i(\omega_X)$

Illustriamo prima il caso $i = 0$ e $m = 1$.

Proposizione

Se $\Phi_\varepsilon : \mathbf{D}(X) \simeq \mathbf{D}(Y)$, allora $F_\varepsilon(\text{id}_X, V^0(\omega_X)) = (\text{id}_Y, V^0(\omega_Y))$.

Dimostrazione.

Sia $\alpha \in V^0(\omega_X)$ e sia $F_\varepsilon(\text{id}_X, \alpha) = (\psi, \beta) \in \text{Aut}^0(Y) \times \text{Pic}^0(Y)$.
Denotiamo con Δ_X, Δ_Y le immersioni diagonali e con (id_Y, ψ) la mappa $y \mapsto (y, \psi(y))$.

Allora

$$\begin{aligned} 0 &\neq H^0(X, \omega_X \otimes \alpha) \\ &\simeq \text{Hom}_{X \times X}(\Delta_{X*} \mathcal{O}_X, \Delta_{X*}(\omega_X \otimes \alpha)) \\ &\simeq \text{Hom}_{Y \times Y}(\Phi_\varepsilon(\Delta_{X*} \mathcal{O}_X), \Phi_\varepsilon(\Delta_{X*}(\omega_X \otimes \alpha))) \end{aligned}$$

Comportamento dei luoghi $V_m^i(\omega_X)$

Illustriamo prima il caso $i = 0$ e $m = 1$.

Proposizione

Se $\Phi_\varepsilon : \mathbf{D}(X) \simeq \mathbf{D}(Y)$, allora $F_\varepsilon(\text{id}_X, V^0(\omega_X)) = (\text{id}_Y, V^0(\omega_Y))$.

Dimostrazione.

Sia $\alpha \in V^0(\omega_X)$ e sia $F_\varepsilon(\text{id}_X, \alpha) = (\psi, \beta) \in \text{Aut}^0(Y) \times \text{Pic}^0(Y)$.
Denotiamo con Δ_X, Δ_Y le immersioni diagonali e con (id_Y, ψ) la mappa $y \mapsto (y, \psi(y))$.

Allora

$$\begin{aligned} 0 &\neq H^0(X, \omega_X \otimes \alpha) \\ &\simeq \text{Hom}_{X \times X}(\Delta_{X*} \mathcal{O}_X, \Delta_{X*}(\omega_X \otimes \alpha)) \\ &\simeq \text{Hom}_{Y \times Y}(\Phi_\varepsilon(\Delta_{X*} \mathcal{O}_X), \Phi_\varepsilon(\Delta_{X*}(\omega_X \otimes \alpha))) \\ &\simeq \text{Hom}_{Y \times Y}((\text{id}_Y, \psi)^* \Delta_{Y*} \mathcal{O}_Y, \omega_Y \otimes \beta). \end{aligned}$$

Comportamento dei luoghi $V_m^i(\omega_X)$

Illustriamo prima il caso $i = 0$ e $m = 1$.

Proposizione

Se $\Phi_\varepsilon : \mathbf{D}(X) \simeq \mathbf{D}(Y)$, allora $F_\varepsilon(\text{id}_X, V^0(\omega_X)) = (\text{id}_Y, V^0(\omega_Y))$.

Dimostrazione.

Sia $\alpha \in V^0(\omega_X)$ e sia $F_\varepsilon(\text{id}_X, \alpha) = (\psi, \beta) \in \text{Aut}^0(Y) \times \text{Pic}^0(Y)$.
Denotiamo con Δ_X, Δ_Y le immersioni diagonali e con (id_Y, ψ) la mappa $y \mapsto (y, \psi(y))$.

Allora

$$\begin{aligned} 0 &\neq H^0(X, \omega_X \otimes \alpha) \\ &\simeq \text{Hom}_{X \times X}(\Delta_{X*} \mathcal{O}_X, \Delta_{X*}(\omega_X \otimes \alpha)) \\ &\simeq \text{Hom}_{Y \times Y}(\Phi_\varepsilon(\Delta_{X*} \mathcal{O}_X), \Phi_\varepsilon(\Delta_{X*}(\omega_X \otimes \alpha))) \\ &\simeq \text{Hom}_{Y \times Y}((\text{id}_Y, \psi)^* \Delta_{Y*} \mathcal{O}_Y, \omega_Y \otimes \beta). \end{aligned}$$

$\Rightarrow \psi = \text{id}_Y$ e $\beta \in V^0(\omega_Y)$.

Notazione: $V_m^i(\omega_X)_0 =$ unione delle componenti irriducibili di $V_m^i(\omega_X)$ passanti per l'origine $\mathcal{O}_X \in \text{Pic}^0(X)$.

Notazione: $V_m^i(\omega_X)_0 =$ unione delle componenti irriducibili di $V_m^i(\omega_X)$ passanti per l'origine $\mathcal{O}_X \in \text{Pic}^0(X)$.

Congettura 1

Se $\Phi_{\mathcal{E}} : \mathbf{D}(X) \simeq \mathbf{D}(Y)$ è un'equivalenza di categorie derivate, allora

$$F_{\mathcal{E}}\left(\text{id}_X, V_m^i(\omega_X)_0\right) = \left(\text{id}_Y, V_m^i(\omega_Y)_0\right) \quad \text{per ogni } m \geq 1 \text{ e } i \geq 0.$$

Notazione: $V_m^i(\omega_X)_0 =$ unione delle componenti irriducibili di $V_m^i(\omega_X)$ passanti per l'origine $\mathcal{O}_X \in \text{Pic}^0(X)$.

Conggettura 1

Se $\Phi_{\mathcal{E}} : \mathbf{D}(X) \simeq \mathbf{D}(Y)$ è un'equivalenza di categorie derivate, allora

$$F_{\mathcal{E}}\left(\text{id}_X, V_m^i(\omega_X)_0\right) = \left(\text{id}_Y, V_m^i(\omega_Y)_0\right) \quad \text{per ogni } m \geq 1 \text{ e } i \geq 0.$$

Esiste una relazione tra l'invarianza dei luoghi di non annullamento e l'invarianza dei numeri di Hodge di tipo $h^i(X, \omega_X)$.

Notazione: $V_m^i(\omega_X)_0 =$ unione delle componenti irriducibili di $V_m^i(\omega_X)$ passanti per l'origine $\mathcal{O}_X \in \text{Pic}^0(X)$.

Conggettura 1

Se $\Phi_{\mathcal{E}} : \mathbf{D}(X) \simeq \mathbf{D}(Y)$ è un'equivalenza di categorie derivate, allora

$$F_{\mathcal{E}}\left(\text{id}_X, V_m^i(\omega_X)_0\right) = \left(\text{id}_Y, V_m^i(\omega_Y)_0\right) \quad \text{per ogni } m \geq 1 \text{ e } i \geq 0.$$

Esiste una relazione tra l'invarianza dei luoghi di non annullamento e l'invarianza dei numeri di Hodge di tipo $h^i(X, \omega_X)$.

Problema 2

Se $\Phi_{\mathcal{E}} : \mathbf{D}(X) \simeq \mathbf{D}(Y)$ è un'equivalenza di categorie derivate, allora $h^i(X, \omega_X) = h^i(Y, \omega_Y)$ per ogni $i \geq 0$.

Notazione: $V_m^i(\omega_X)_0 =$ unione delle componenti irriducibili di $V_m^i(\omega_X)$ passanti per l'origine $\mathcal{O}_X \in \text{Pic}^0(X)$.

Conggettura 1

Se $\Phi_{\mathcal{E}} : \mathbf{D}(X) \simeq \mathbf{D}(Y)$ è un'equivalenza di categorie derivate, allora

$$F_{\mathcal{E}}\left(\text{id}_X, V_m^i(\omega_X)_0\right) = \left(\text{id}_Y, V_m^i(\omega_Y)_0\right) \quad \text{per ogni } m \geq 1 \text{ e } i \geq 0.$$

Esiste una relazione tra l'invarianza dei luoghi di non annullamento e l'invarianza dei numeri di Hodge di tipo $h^i(X, \omega_X)$.

Problema 2

Se $\Phi_{\mathcal{E}} : \mathbf{D}(X) \simeq \mathbf{D}(Y)$ è un'equivalenza di categorie derivate, allora $h^i(X, \omega_X) = h^i(Y, \omega_Y)$ per ogni $i \geq 0$.

Teorema 1 (L.-Popa)

Conggettura 1 \Leftrightarrow Problema 2.

Notazione: $V_m^i(\omega_X)_0$ = unione delle componenti irriducibili di $V_m^i(\omega_X)$ passanti per l'origine $\mathcal{O}_X \in \text{Pic}^0(X)$.

Conggettura 1

Se $\Phi_{\mathcal{E}} : \mathbf{D}(X) \simeq \mathbf{D}(Y)$ è un'equivalenza di categorie derivate, allora

$$F_{\mathcal{E}}\left(\text{id}_X, V_m^i(\omega_X)_0\right) = \left(\text{id}_Y, V_m^i(\omega_Y)_0\right) \quad \text{per ogni } m \geq 1 \text{ e } i \geq 0.$$

Esiste una relazione tra l'invarianza dei luoghi di non annullamento e l'invarianza dei numeri di Hodge di tipo $h^i(X, \omega_X)$.

Problema 2

Se $\Phi_{\mathcal{E}} : \mathbf{D}(X) \simeq \mathbf{D}(Y)$ è un'equivalenza di categorie derivate, allora $h^i(X, \omega_X) = h^i(Y, \omega_Y)$ per ogni $i \geq 0$.

Teorema 1 (L.-Popa)

Conggettura 1 \Leftrightarrow Problema 2.

Più precisamente, Conggettura 1 per qualche indice $i \geq 0 \Leftrightarrow$ Problema 2 per lo stesso indice i .

I numeri di Hodge $h^0(X, \omega_X)$, $h^1(X, \omega_X)$, $h^{n-1}(X, \omega_X)$ e $h^n(X, \omega_X)$ sono invarianti sotto equivalenze di categorie derivate.

I numeri di Hodge $h^0(X, \omega_X)$, $h^1(X, \omega_X)$, $h^{n-1}(X, \omega_X)$ e $h^n(X, \omega_X)$ sono invarianti sotto equivalenze di categorie derivate.

Corollario

Se $\mathbf{D}(X) \simeq \mathbf{D}(Y)$ e $n = \dim X = \dim Y$, allora per ogni intero $m \geq 1$ esistono isomorfismi:

- $V_m^0(\omega_X)_0 \simeq V_m^0(\omega_Y)_0$,
- $V_m^1(\omega_X)_0 \simeq V_m^1(\omega_Y)_0$,
- $V_m^{n-1}(\omega_X)_0 \simeq V_m^{n-1}(\omega_Y)_0$,
- $V_m^n(\omega_X)_0 \simeq V_m^n(\omega_Y)_0$.
- *Congettura 1 è vera in dimensione $n = 1, 2, 3$.*

Dimostrazione Teorema 1

L'implicazione Congettura 1 \Rightarrow Problema 2 è immediata: basta prendere $\alpha = \mathcal{O}_X$ e $\beta = \mathcal{O}_Y$ e notare che $F_{\mathcal{E}}(\text{id}_X, \mathcal{O}_X) = (\text{id}_Y, \mathcal{O}_Y)$.

Dimostrazione Teorema 1

L'implicazione Congettura 1 \Rightarrow Problema 2 è immediata: basta prendere $\alpha = \mathcal{O}_X$ e $\beta = \mathcal{O}_Y$ e notare che $F_{\mathcal{E}}(\text{id}_X, \mathcal{O}_X) = (\text{id}_Y, \mathcal{O}_Y)$.

Problema 2 \Rightarrow Congettura 1:

Bisogna dimostrare che se $\alpha \in V^i(\omega_X)$ e $F_{\mathcal{E}}(\text{id}_X, \alpha) = (\psi, \beta) \in \text{Aut}^0(X) \times \text{Pic}^0(Y)$, allora $\psi = \text{id}_Y$ e $\beta \in V^i(\omega_Y)_0$ (per semplicità assumiamo $m = 1$).

Dimostrazione Teorema 1

L'implicazione Congettura 1 \Rightarrow Problema 2 è immediata: basta prendere $\alpha = \mathcal{O}_X$ e $\beta = \mathcal{O}_Y$ e notare che $F_{\mathcal{E}}(\text{id}_X, \mathcal{O}_X) = (\text{id}_Y, \mathcal{O}_Y)$.

Problema 2 \Rightarrow Congettura 1:

Bisogna dimostrare che se $\alpha \in V^i(\omega_X)$ e $F_{\mathcal{E}}(\text{id}_X, \alpha) = (\psi, \beta) \in \text{Aut}^0(X) \times \text{Pic}^0(Y)$, allora $\psi = \text{id}_Y$ e $\beta \in V^i(\omega_Y)_0$ (per semplicità assumiamo $m = 1$).

Il fatto che $\psi = \text{id}_Y$ segue similmente al caso $i = 0$, bisogna però usare risultati di Brion su azioni di gruppi non affini su varietà lisce.

Dimostrazione Teorema 1

L'implicazione Congettura 1 \Rightarrow Problema 2 è immediata: basta prendere $\alpha = \mathcal{O}_X$ e $\beta = \mathcal{O}_Y$ e notare che $F_{\mathcal{E}}(\text{id}_X, \mathcal{O}_X) = (\text{id}_Y, \mathcal{O}_Y)$.

Problema 2 \Rightarrow Congettura 1:

Bisogna dimostrare che se $\alpha \in V^i(\omega_X)$ e $F_{\mathcal{E}}(\text{id}_X, \alpha) = (\psi, \beta) \in \text{Aut}^0(X) \times \text{Pic}^0(Y)$, allora $\psi = \text{id}_Y$ e $\beta \in V^i(\omega_Y)_0$ (per semplicità assumiamo $m = 1$).

Il fatto che $\psi = \text{id}_Y$ segue similmente al caso $i = 0$, bisogna però usare risultati di Brion su azioni di gruppi non affini su varietà lisce.

Per dimostrare che $\beta \in V^i(\omega_Y)_0$ produciamo nuove equivalenze di categorie derivate.

In particolare si dimostra che se $F_{\mathcal{E}}(\text{id}_X, \alpha) = (\text{id}_Y, \beta)$ e α e β hanno ordine finito, allora l'equivalenza $\Phi_{\mathcal{E}} : \mathbf{D}(X) \simeq \mathbf{D}(Y)$ si solleva ad un'equivalenza $\mathbf{D}(X_{\alpha}) \simeq \mathbf{D}(Y_{\beta})$ dove X_{α} e Y_{β} sono i rivestimenti ciclici associati ad α e β .

Per ipotesi, e per definizione di X_α e Y_β , abbiamo

$$0 \neq \sum_{j=0}^{p-1} h^i(X, \omega_X \otimes \alpha^j) = h^i(X_\alpha, \omega_{X_\alpha}) = h^i(Y_\beta, \omega_{Y_\beta}) = \sum_{j=0}^{p-1} h^i(Y, \omega_Y \otimes \beta^j).$$

Per ipotesi, e per definizione di X_α e Y_β , abbiamo

$$0 \neq \sum_{j=0}^{p-1} h^i(X, \omega_X \otimes \alpha^j) = h^i(X_\alpha, \omega_{X_\alpha}) = h^i(Y_\beta, \omega_{Y_\beta}) = \sum_{j=0}^{p-1} h^i(Y, \omega_Y \otimes \beta^j).$$

$\Rightarrow \beta^k \in V^i(\omega_Y)$ per qualche $k \geq 1$.

Per ipotesi, e per definizione di X_α e Y_β , abbiamo

$$0 \neq \sum_{j=0}^{p-1} h^i(X, \omega_X \otimes \alpha^j) = h^i(X_\alpha, \omega_{X_\alpha}) = h^i(Y_\beta, \omega_{Y_\beta}) = \sum_{j=0}^{p-1} h^i(Y, \omega_Y \otimes \beta^j).$$

$\Rightarrow \beta^k \in V^i(\omega_Y)$ per qualche $k \geq 1$.

Per dimostrare che $\beta \in V^i(\omega_Y)_0$ usiamo la struttura speciale di $V^i(\omega_Y)$:

$$V^i(\omega_Y) = \bigcup_I \tau_I + B_I$$

dove τ_I è un punto di *torsione* e B_I è un sotto-toro di $\text{Pic}^0(Y)$ (Green–Lazarsfeld–Simpson).

Per ipotesi, e per definizione di X_α e Y_β , abbiamo

$$0 \neq \sum_{j=0}^{p-1} h^i(X, \omega_X \otimes \alpha^j) = h^i(X_\alpha, \omega_{X_\alpha}) = h^i(Y_\beta, \omega_{Y_\beta}) = \sum_{j=0}^{p-1} h^i(Y, \omega_Y \otimes \beta^j).$$

$\Rightarrow \beta^k \in V^i(\omega_Y)$ per qualche $k \geq 1$.

Per dimostrare che $\beta \in V^i(\omega_Y)_0$ usiamo la struttura speciale di $V^i(\omega_Y)$:

$$V^i(\omega_Y) = \bigcup_I \tau_I + B_I$$

dove τ_I è un punto di *torsione* e B_I è un sotto-toro di $\text{Pic}^0(Y)$ (Green–Lazarsfeld–Simpson).

Infine notiamo che gli elementi il cui ordine è in

$$P := \{p \text{ primo} \mid p \nmid \text{ord}(\tau_I) \text{ per ogni } I\}$$

formano un insieme denso, quindi con un argomento di densità è sufficiente dimostrare l'enunciato solamente per tali elementi.

Per ipotesi, e per definizione di X_α e Y_β , abbiamo

$$0 \neq \sum_{j=0}^{p-1} h^i(X, \omega_X \otimes \alpha^j) = h^i(X_\alpha, \omega_{X_\alpha}) = h^i(Y_\beta, \omega_{Y_\beta}) = \sum_{j=0}^{p-1} h^i(Y, \omega_Y \otimes \beta^j).$$

$\Rightarrow \beta^k \in V^i(\omega_Y)$ per qualche $k \geq 1$.

Per dimostrare che $\beta \in V^i(\omega_Y)_0$ usiamo la struttura speciale di $V^i(\omega_Y)$:

$$V^i(\omega_Y) = \bigcup_I \tau_I + B_I$$

dove τ_I è un punto di *torsione* e B_I è un sotto-toro di $\text{Pic}^0(Y)$ (Green–Lazarsfeld–Simpson).

Infine notiamo che gli elementi il cui ordine è in

$$P := \{p \text{ primo} \mid p \nmid \text{ord}(\tau_I) \text{ per ogni } I\}$$

formano un insieme denso, quindi con un argomento di densità è sufficiente dimostrare l'enunciato solamente per tali elementi.

$$\beta^k \in \tau_I + B_I \subset V^i(\omega_Y) \Rightarrow \beta^k \in V^i(\omega_Y)_0 \Rightarrow \beta \in V^i(\omega_Y)_0.$$

Applicazioni I: Invarianza di quantità numeriche

Applicazioni I: Invarianza di quantità numeriche

Notazione: $\text{alb}_X : X \rightarrow \text{Alb}(X)$ mappa di Albanese.

Definizione: $a(X) := \dim \text{alb}_X(X)$ dimensione di Albanese.

Notazione: $\text{alb}_X : X \rightarrow \text{Alb}(X)$ mappa di Albanese.

Definizione: $a(X) := \dim \text{alb}_X(X)$ dimensione di Albanese.

Corollario

Supponi $\mathbf{D}(X) \simeq \mathbf{D}(Y)$ e sia $n = \dim X = \dim Y$.

- 1 Se $n \leq 3$, allora $a(X) = a(Y)$.
- 2 Se $n > 3$ e $\text{kod}(X) \geq 0$, allora $a(X) = a(Y)$.
- 3 Se $a(X) \geq n - 1$ e $\text{kod}(X) \geq 0$, allora $\chi(\omega_X) = \chi(\omega_Y)$.
- 4 Se $n = 4$, $a(X) \geq 3$, e $\text{kod}(X) \geq 0$, allora

$$h^{0,2}(X) = h^{0,2}(Y) \quad \text{e} \quad h^{1,3}(X) = h^{1,3}(Y).$$

Notazione: $\text{alb}_X : X \rightarrow \text{Alb}(X)$ mappa di Albanese.

Definizione: $a(X) := \dim \text{alb}_X(X)$ dimensione di Albanese.

Corollario

Supponi $\mathbf{D}(X) \simeq \mathbf{D}(Y)$ e sia $n = \dim X = \dim Y$.

- 1 Se $n \leq 3$, allora $a(X) = a(Y)$.
- 2 Se $n > 3$ e $\text{kod}(X) \geq 0$, allora $a(X) = a(Y)$.
- 3 Se $a(X) \geq n - 1$ e $\text{kod}(X) \geq 0$, allora $\chi(\omega_X) = \chi(\omega_Y)$.
- 4 Se $n = 4$, $a(X) \geq 3$, e $\text{kod}(X) \geq 0$, allora

$$h^{0,2}(X) = h^{0,2}(Y) \quad e \quad h^{1,3}(X) = h^{1,3}(Y).$$

Oltre ai numeri di Hodge elencati precedentemente, in dimensione 4 solamente il numero $h^{1,2}$ è conosciuto essere invariante.

Applicazioni II: Fibrazioni su curve

Applicazioni II: Fibrazioni su curve

Fibrazione = Morfismo suriettivo con fibre connesse

Applicazioni II: Fibrazioni su curve

Fibrazione = Morfismo suriettivo con fibre connesse

L'invarianza di $V^{n-1}(\omega_X)_0$ fornisce informazioni riguardo al comportamento di fibrazioni su curve di genere ≥ 2 .

Fibrazione = Morfismo suriettivo con fibre connesse

L'invarianza di $V^{n-1}(\omega_X)_0$ fornisce informazioni riguardo al comportamento di fibrazioni su curve di genere ≥ 2 .

Teorema (L.–Popa, L.–Schnell)

Supponi $\mathbf{D}(X) \simeq \mathbf{D}(Y)$. Se $f : X \rightarrow C$ è una fibrazione su una curva liscia di genere ≥ 2 , allora Y ammette una fibrazione $h : Y \rightarrow C$ sulla stessa curva. Inoltre, se $\{C_1, \dots, C_s\}$ (risp. $\{D_1, \dots, D_r\}$) denota l'insieme delle curve lisce di genere ≥ 2 sulle quali X (risp. Y) ammette una fibrazione allora $s = r$ e $\{C_1, \dots, C_s\} = \{D_1, \dots, D_r\}$.

Dimostrazione

Per ogni intero $g \geq 2$ abbiamo una corrispondenza biunivoca

{fibrizioni $f : X \rightarrow C$ su curve lisce C di genere g }

\longleftrightarrow

{componenti irriducibili g -dimensionali $Z \subset V^{n-1}(\omega_X)_0$ }

Dimostrazione

Per ogni intero $g \geq 2$ abbiamo una corrispondenza biunivoca

{fibrizioni $f : X \rightarrow C$ su curve lisce C di genere g }

\longleftrightarrow

{componenti irriducibili g -dimensionali $Z \subset V^{n-1}(\omega_X)_0$ }

$f : X \rightarrow C \mapsto f^* \text{Pic}^0(C) \simeq f^* V^0(\omega_C) \subset V^{n-1}(\omega_X)_0$

Dimostrazione

Per ogni intero $g \geq 2$ abbiamo una corrispondenza biunivoca

{fibrizioni $f : X \rightarrow C$ su curve lisce C di genere g }

\longleftrightarrow

{componenti irriducibili g -dimensionali $Z \subset V^{n-1}(\omega_X)_0$ }

$$f : X \rightarrow C \mapsto f^* \text{Pic}^0(C) \simeq f^* V^0(\omega_C) \subset V^{n-1}(\omega_X)_0$$

$$Z \subset V^{n-1}(\omega_X)_0 \subset \text{Pic}^0(X) \mapsto \text{Stein}(X \xrightarrow{\text{alb}_X} \text{Alb}(X) \rightarrow \widehat{Z}).$$

Dimostrazione

Per ogni intero $g \geq 2$ abbiamo una corrispondenza biunivoca

{fibrizioni $f : X \rightarrow C$ su curve lisce C di genere g }

\longleftrightarrow

{componenti irriducibili g -dimensionali $Z \subset V^{n-1}(\omega_X)_0$ }

$$f : X \rightarrow C \mapsto f^* \text{Pic}^0(C) \simeq f^* V^0(\omega_C) \subset V^{n-1}(\omega_X)_0$$

$$Z \subset V^{n-1}(\omega_X)_0 \subset \text{Pic}^0(X) \mapsto \text{Stein}(X \xrightarrow{\text{alb}_X} \text{Alb}(X) \rightarrow \widehat{Z}).$$

La teoria dell'annullamento generico assicura che l'immagine della fattorizzazione di Stein è una curva liscia.

Dimostrazione

Per ogni intero $g \geq 2$ abbiamo una corrispondenza biunivoca

{fibrizioni $f : X \rightarrow C$ su curve lisce C di genere g }

\longleftrightarrow

{componenti irriducibili g -dimensionali $Z \subset V^{n-1}(\omega_X)_0$ }

$$f : X \rightarrow C \mapsto f^* \text{Pic}^0(C) \simeq f^* V^0(\omega_C) \subset V^{n-1}(\omega_X)_0$$

$$Z \subset V^{n-1}(\omega_X)_0 \subset \text{Pic}^0(X) \mapsto \text{Stein}(X \xrightarrow{\text{alb}_X} \text{Alb}(X) \rightarrow \widehat{Z}).$$

La teoria dell'annullamento generico assicura che l'immagine della fattorizzazione di Stein è una curva liscia.

Dal momento che $F_{\mathcal{E}}(\text{id}_X, V^{n-1}(\omega_X)_0) = (\text{id}_Y, V^{n-1}(\omega_Y)_0)$, abbiamo che se $f : X \rightarrow C$ con $g(C) \geq 2$, allora Y ammette una fibrazione $h : Y \rightarrow D$ su una curva D con $g(D) = g(C)$ e tale che

$$F_{\mathcal{E}}(\text{id}_X, f^* \text{Pic}^0(C)) = (\text{id}_Y, h^* \text{Pic}^0(D)).$$

Per dimostrare che $C \simeq D$ guardiamo al nucleo $\mathcal{E} \in \mathbf{D}(X \times Y)$ dell'equivalenza $\Phi_{\mathcal{E}} : \mathbf{D}(X) \simeq \mathbf{D}(Y)$.

Per dimostrare che $C \simeq D$ guardiamo al nucleo $\mathcal{E} \in \mathbf{D}(X \times Y)$
dell'equivalenza $\Phi_{\mathcal{E}} : \mathbf{D}(X) \simeq \mathbf{D}(Y)$.

Mostreremo che un'opportuna modificazione di questo nucleo indurrà
l'isomorfismo tra le due curve.

Per dimostrare che $C \simeq D$ guardiamo al nucleo $\mathcal{E} \in \mathbf{D}(X \times Y)$ dell'equivalenza $\Phi_{\mathcal{E}} : \mathbf{D}(X) \simeq \mathbf{D}(Y)$.

Mostreremo che un'opportuna modificazione di questo nucleo indurrà l'isomorfismo tra le due curve.

Scegliamo un fibrato lineare L su $X \times Y$ e definiamo

$$\mathcal{E}' := \mathbf{R}(f \times h)_*(\mathcal{E} \otimes L) \in \mathbf{D}(C \times D)$$

dove $f \times h : X \times Y \rightarrow C \times D$.

Per dimostrare che $C \simeq D$ guardiamo al nucleo $\mathcal{E} \in \mathbf{D}(X \times Y)$ dell'equivalenza $\Phi_{\mathcal{E}} : \mathbf{D}(X) \simeq \mathbf{D}(Y)$.

Mostreremo che un'opportuna modificazione di questo nucleo indurrà l'isomorfismo tra le due curve.

Scegliamo un fibrato lineare L su $X \times Y$ e definiamo

$$\mathcal{E}' := \mathbf{R}(f \times h)_*(\mathcal{E} \otimes L) \in \mathbf{D}(C \times D)$$

dove $f \times h : X \times Y \rightarrow C \times D$. Se L è sufficientemente ampio allora

$$\text{Supp } \mathcal{E}' = (f \times h)(\text{Supp } \mathcal{E}).$$

Per dimostrare che $C \simeq D$ guardiamo al nucleo $\mathcal{E} \in \mathbf{D}(X \times Y)$ dell'equivalenza $\Phi_{\mathcal{E}} : \mathbf{D}(X) \simeq \mathbf{D}(Y)$.

Mostreremo che un'opportuna modificazione di questo nucleo indurrà l'isomorfismo tra le due curve.

Scegliamo un fibrato lineare L su $X \times Y$ e definiamo

$$\mathcal{E}' := \mathbf{R}(f \times h)_*(\mathcal{E} \otimes L) \in \mathbf{D}(C \times D)$$

dove $f \times h : X \times Y \rightarrow C \times D$. Se L è sufficientemente ampio allora

$$\text{Supp } \mathcal{E}' = (f \times h)(\text{Supp } \mathcal{E}).$$

Segue da ciò, e dal fatto che $F_{\mathcal{E}}(\text{id}_X, f^*\text{Pic}^0(C)) = (\text{id}_Y, h^*\text{Pic}^0(D))$, che

$$\dim \text{Supp } \mathcal{E}' = 1.$$

Guardiamo ora al diagramma commutativo

$$\begin{array}{ccc} \text{Supp } \mathcal{E} & \xrightarrow{f \times h} & \text{Supp } \mathcal{E}' \\ \downarrow & & \downarrow \\ X & \xrightarrow{f} & C \end{array}$$

dal quale sappiamo che $\text{Supp } \mathcal{E} \rightarrow X$ è suriettivo con fibre connesse (Kawamata).

Guardiamo ora al diagramma commutativo

$$\begin{array}{ccc} \text{Supp } \mathcal{E} & \xrightarrow{f \times h} & \text{Supp } \mathcal{E}' \\ \downarrow & & \downarrow \\ X & \xrightarrow{f} & C \end{array}$$

dal quale sappiamo che $\text{Supp } \mathcal{E} \rightarrow X$ è suriettivo con fibre connesse (Kawamata).

$\Rightarrow \text{Supp } \mathcal{E}' \rightarrow C$ è suriettivo con fibre connesse

$\Rightarrow \text{Supp } \mathcal{E}' \simeq C$.

Similmente $\text{Supp } \mathcal{E}' \simeq D$

$\Rightarrow C \simeq D$. \square

Guardiamo ora al diagramma commutativo

$$\begin{array}{ccc} \text{Supp } \mathcal{E} & \xrightarrow{f \times h} & \text{Supp } \mathcal{E}' \\ \downarrow & & \downarrow \\ X & \xrightarrow{f} & C \end{array}$$

dal quale sappiamo che $\text{Supp } \mathcal{E} \rightarrow X$ è suriettivo con fibre connesse (Kawamata).

$\Rightarrow \text{Supp } \mathcal{E}' \rightarrow C$ è suriettivo con fibre connesse

$\Rightarrow \text{Supp } \mathcal{E}' \simeq C$.

Similmente $\text{Supp } \mathcal{E}' \simeq D$

$\Rightarrow C \simeq D$. \square

Problema (Work in progress)

Supponi $\mathbf{D}(X) \simeq \mathbf{D}(Y)$. Sia $f : X \rightarrow C$ una fibrazione su una curva liscia di genere almeno 2 in modo tale che Y ammette una fibrazione $h : Y \rightarrow C$ sulla stessa curva. E' vero che l'equivalenza $\mathbf{D}(X) \simeq \mathbf{D}(Y)$ induce equivalenze $\mathbf{D}(X_c) \simeq \mathbf{D}(Y_c)$ sulle fibre generiche delle due fibrazioni?

Possiamo capire la geometria globale di due varietà D -equivalenti se queste ammettono fibrazioni speciali.

Teorema (L.–Popa)

Supponi $\mathbf{D}(X) \simeq \mathbf{D}(Y)$ e che $f : X \rightarrow C$ è una fibrazione su una curva liscia di genere ≥ 2 .

- *Se $f : X \rightarrow C$ è una fibrazione di Fano, allora X e Y sono K -equivalenti.*

Possiamo capire la geometria globale di due varietà D -equivalenti se queste ammettono fibrazioni speciali.

Teorema (L.–Popa)

Supponi $\mathbf{D}(X) \simeq \mathbf{D}(Y)$ e che $f : X \rightarrow C$ è una fibrazione su una curva liscia di genere ≥ 2 .

- *Se $f : X \rightarrow C$ è una fibrazione di Fano, allora X e Y sono K -equivalenti.*
- *Se ω_X^{-1} è f -ampio (per esempio f è uno spazio di Mori), allora $X \simeq Y$.*

Possiamo capire la geometria globale di due varietà D -equivalenti se queste ammettono fibrazioni speciali.

Teorema (L.–Popa)

Supponi $\mathbf{D}(X) \simeq \mathbf{D}(Y)$ e che $f : X \rightarrow C$ è una fibrazione su una curva liscia di genere ≥ 2 .

- Se $f : X \rightarrow C$ è una fibrazione di Fano, allora X e Y sono K -equivalenti.
- Se ω_X^{-1} è f -ampio (per esempio f è uno spazio di Mori), allora $X \simeq Y$.

Dimostrazione. Sia F la fibra generica di $f : X \rightarrow C$. Sia $Z \subset \text{Supp } \mathcal{E} \subset X \times Y$ una componente del supporto che surietta su X .

Possiamo capire la geometria globale di due varietà D -equivalenti se queste ammettono fibrazioni speciali.

Teorema (L.–Popa)

Supponi $\mathbf{D}(X) \simeq \mathbf{D}(Y)$ e che $f : X \rightarrow C$ è una fibrazione su una curva liscia di genere ≥ 2 .

- Se $f : X \rightarrow C$ è una fibrazione di Fano, allora X e Y sono K -equivalenti.
- Se ω_X^{-1} è f -ampio (per esempio f è uno spazio di Mori), allora $X \simeq Y$.

Dimostrazione. Sia F la fibra generica di $f : X \rightarrow C$. Sia $Z \subset \text{Supp } \mathcal{E} \subset X \times Y$ una componente del supporto che surietta su X . Consideriamo il prodotto fibrato

$$\begin{array}{ccccc} Y & \xleftarrow{q_F} & Z_F & \hookrightarrow & Z \\ & & \downarrow p_F & & \downarrow \\ & & F & \hookrightarrow & X. \end{array}$$

Possiamo capire la geometria globale di due varietà D -equivalenti se queste ammettono fibrazioni speciali.

Teorema (L.–Popa)

Supponi $\mathbf{D}(X) \simeq \mathbf{D}(Y)$ e che $f : X \rightarrow C$ è una fibrazione su una curva liscia di genere ≥ 2 .

- Se $f : X \rightarrow C$ è una fibrazione di Fano, allora X e Y sono K -equivalenti.
- Se ω_X^{-1} è f -ampio (per esempio f è uno spazio di Mori), allora $X \simeq Y$.

Dimostrazione. Sia F la fibra generica di $f : X \rightarrow C$. Sia $Z \subset \text{Supp } \mathcal{E} \subset X \times Y$ una componente del supporto che surietta su X . Consideriamo il prodotto fibrato

$$\begin{array}{ccccc}
 Y & \xleftarrow{q_F} & Z_F \subset & \longrightarrow & Z \\
 & & \downarrow p_F & & \downarrow \\
 & & F \subset & \longrightarrow & X.
 \end{array}$$

Risultati di Kawamata ci dicono che a meno di qualche potenza positiva, i pull-backs $p_F^* \omega_F^{-1}$ e $q_F^* \omega_Y^{-1}$ coincidono su Z_F . Quindi se F è Fano allora il morfismo q_F è finito.

Inoltre, se accade che $\dim Z = \dim X$, allora Z realizza una K -equivalenza tra X e Y (Kawamata). Supponi che $\dim Z > \dim X$.

Inoltre, se accade che $\dim Z = \dim X$, allora Z realizza una K -equivalenza tra X e Y (Kawamata). Supponi che $\dim Z > \dim X$.
 $\Rightarrow \dim Z_F \geq \dim X = \dim Y$

Inoltre, se accade che $\dim Z = \dim X$, allora Z realizza una K -equivalenza tra X e Y (Kawamata). Supponi che $\dim Z > \dim X$.

$\Rightarrow \dim Z_F \geq \dim X = \dim Y \Rightarrow q_F$ è suriettiva.

$\Rightarrow \omega_Y^{-1}$ è nef

$\Rightarrow \omega_X^{-1}$ è nef.

Infine applichiamo un teorema di Qi Zhang sulla geometria di varietà con anticanonico nef:

ω_X^{-1} nef $\Rightarrow \text{alb}_X$ è suriettiva.

Inoltre, se accade che $\dim Z = \dim X$, allora Z realizza una K -equivalenza tra X e Y (Kawamata). Supponi che $\dim Z > \dim X$.

$\Rightarrow \dim Z_F \geq \dim X = \dim Y \Rightarrow q_F$ è suriettiva.

$\Rightarrow \omega_Y^{-1}$ è nef

$\Rightarrow \omega_X^{-1}$ è nef.

Infine applichiamo un teorema di Qi Zhang sulla geometria di varietà con anticanonico nef:

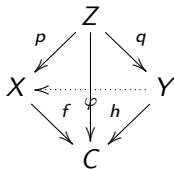
ω_X^{-1} nef $\Rightarrow \text{alb}_X$ è suriettiva.

Ma nel nostro caso:

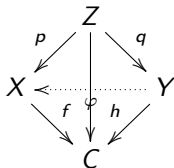
$$\begin{array}{ccc} X & \xrightarrow{\text{alb}_X} & \text{Alb}(X) \\ \downarrow f & & \downarrow \\ C & \xrightarrow{\text{alb}_C} & J(C). \end{array}$$

$\Rightarrow g(C) \leq 1$ (assurdo!).

Supponi ora che ω_X^{-1} è f -ampio e considera il diagramma commutativo indotto dalle mappe di Albanese:



Supponi ora che ω_X^{-1} è f -ampio e considera il diagramma commutativo indotto dalle mappe di Albanese:

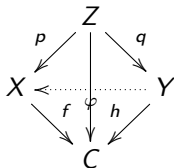


Se per assurdo ϕ non è un morfismo, allora esiste una curva $B \subset Z$ tale che $q(B) = pt.$, $p(B) \neq pt$ e $p(B) \subset$ fibra di f .

Allora

$$0 = q^* \omega_Y^{-1} \cdot B = p^* \omega_X^{-1} \cdot B = \omega_X^{-1} \cdot p(B) > 0.$$

Supponi ora che ω_X^{-1} è f -ampio e considera il diagramma commutativo indotto dalle mappe di Albanese:



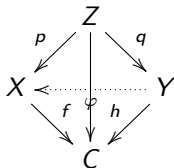
Se per assurdo φ non è un morfismo, allora esiste una curva $B \subset Z$ tale che $q(B) = pt.$, $p(B) \neq pt$ e $p(B) \subset$ fibra di f .

Allora

$$0 = q^* \omega_Y^{-1} \cdot B = p^* \omega_X^{-1} \cdot B = \omega_X^{-1} \cdot p(B) > 0.$$

Assurdo!

Supponi ora che ω_X^{-1} è f -ampio e considera il diagramma commutativo indotto dalle mappe di Albanese:



Se per assurdo φ non è un morfismo, allora esiste una curva $B \subset Z$ tale che $q(B) = pt.$, $p(B) \neq pt$ e $p(B) \subset$ fibra di f .

Allora

$$0 = q^* \omega_Y^{-1} \cdot B = p^* \omega_X^{-1} \cdot B = \omega_X^{-1} \cdot p(B) > 0.$$

Assurdo!

Grazie!!